

1-3

# 技术参考文献

TISHU

CANKAO

WENXIAN

## 电机冷却資料

DIANJI

LENGQUE ZILIAO

2

1958

... ————— 内 容 ————— ...

1. 氢冷汽轮发电机 ..... (1)

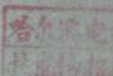
2. 日本震立制造的氢气冷却汽轮发电机 ..... (27)

3. 高速汽轮发电机功率的平衡方法  
苏联日·日·济因夫 ..... (34)

4. H<sub>2</sub>冷汽轮发电机 ..... (56)

哈尔滨电机厂技术室编

PDG



# 第一篇

## 氢冷汽轮发电机

应书林

王光国

朱炳洋 喻泽

当额定容量在  $8 \sim 10$  万千瓦时，空气冷却汽轮发电机就感到困难，为此采用了氢气冷却。本文中作者分析了几台实际的氢冷发电机中采用氢气的一些问题及其解决办法的轻重，也叙述了发电机的氢气冷却机和氢气管子它们的损耗和效率、通风和辅助设备。

B. B. C. 在此前曾经对透平发电机的氢气冷却进行了研究，试验装置——特别是研究氢气管——已经制成，但是氢冷透平发电机的结构未被认识到。首先有 2 台 12 万千瓦伏安发电机，由于不能应用空气冷却，而开始采用了氢气。此后，又有 2 台以上的容量自千瓦到 6.75 万千瓦安——其中约近半数。此外在 12 万千瓦伏安以上——的电机已经运行并大部分制成氢气冷却（参见表 2）。两台 8 万千瓦伏安和一台 14.3 万千瓦伏安已经在实际上不间断地运行了一段时期，因此从广大的初步试验结果中，B. B. C. 在氢冷发电机方面已积累了一些经验。

### 电枢设计和通风

氢冷发电机的电枢设计最主要的是安排转子差温介的后果，而它又与必要的转子磁隙宽度及转子冷却有关。必须的转子磁隙宽度为产生强磁场通风槽深度所需要的空隙的几何和（量）和转子每齿有效齿距的总和——槽数和槽形、叠压系数、绝缘首

式和厚度——以反电动势和它对转子表面的相对速度。按照电机的容量，B、B<sub>1</sub>、C都用了三种不同的槽型（图1）。为了研究一定槽型的冷却效果，首先考虑了一个装在转子圆柱形表面上冷却最简单的情况（图1a）。

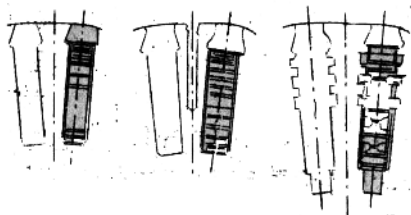


图1：(a) B、B<sub>1</sub>、C 水冷发电机的转子槽型

(a) 小容量采用的直接表面冷却

(b) 中容量采用的齿部冷却

(c) 大容量采用的直接铜内冷却。

使转子相对于冷却剂流动而进入电机的冷却介质的平均容许温升为 $\Delta T$ （根据国家标准 $\Delta T = 60^{\circ}\text{C}$ ），以及从冷却剂到转子侧的齿部介质温降 $\tau$ （正常而顺利地通过冷却剂冷却电机）如下：

1.  $\tau_1$ —一齿隙内冷却剂由於风扇也应考虑冷却剂所引起的平均预热。

$\tau_2$ —转子表面与齿隙内冷却剂之间温降。

$\tau_3$ —由於齿圈在转子齿到转子表面间封隙。

$\tau_4$ —转子铜和铁之间的温降，这是由於绝缘和充油至铜与绝缘反绝缘与齿之间空隙中的冷却剂的热阻所引起。

不计通过转子导线及转子表面绝缘的双倍系数：

$$\tau_1 + \tau_2 + \tau_3 + \tau_4 = \Delta T$$

因为空气和水的热导率相同，所以 $\tau_1$ —冷却剂它性无关，但另要压力或反比。因为冷却发电机在任何情况下总是制造空气密

闭式的，所以氢气压力可提高到 2 ~ 3 倍大气压力，而不致在气体中产生过大的转子表面摩擦损耗，或需要一个不经济的大的风扇驱动功率。氢冷汽轮发电机的风扇总要设计得较空气冷却的风扇为少，以相应地减少总损耗。而结果当氢气压力约为大气压力时，氢气的温升与空气冷却发电机的冷却介质的温升相同，即大约为  $25^{\circ}\text{C}$ 。因此气隙中冷却剂的平均预热  $Q_1$  对在近似大气压力下的空气和氢气冷却而言是相同的。当氢气压力增加到 2 或 3 公斤/平方公分时，则  $Q_1$  分别减小到大气压下  $Q_1$  数值的 0.5 或 0.33。（如果提高氢压长期运行于很高压力时，其风量和风扇能效将变得较小，以为蓄效率，然而在此情况下，假如氢压而降低  $Q_1$  的作用将要失去，並且当用纯氢压或空气运行时，发电机磁力将大为降低，为此在增加冷却器之前，对这种可能进一步提高效率的优点迄今未被采纳）。

转子表面与氢隙内冷却剂之间的温差为：

$$Q_2 = \frac{P_{\nu}}{2hS}$$

这里  $P_{\nu}$  = 转子铜耗 (瓦, W)

$S$  → 转子表面积 (平方公分,  $\text{CM}^2$ )

$h$  → 液体摩擦系数 (瓦/平方公分·度,  $W/\text{CM}^2 \cdot ^{\circ}\text{C}$ )

图 3 表示 90 ~ 100% 密度和不同压力下的氢与大气压力下的空气在紊流状态时的摩擦系数  $2h$  之间的关系，即是

$$\frac{2h(\text{H}_2)}{2h(\text{Air})} = \left( \frac{\gamma(\text{H}_2)}{\gamma(\text{Air})} \right)^{0.214} = \left( \frac{\gamma(\text{H}_2)}{\gamma(\text{Air})} \cdot \frac{C_p(\text{H}_2)}{C_p(\text{Air})} \right)^{0.286}$$

此外假定为同样温度 ( $20^{\circ}\text{C}$ )、冷却表面积和速度。实际上由于氢和空气的粘度不同，其流速亦有些不同。但当氢气密度为 97 ~ 98% 时，这种影响很小而可略去不计（参见文献 1）。氢气和空气的摩擦系数与压力无关。密度  $\gamma$  与氢气压力成正比。粘度  $\mu$  与氢气压力成反比。

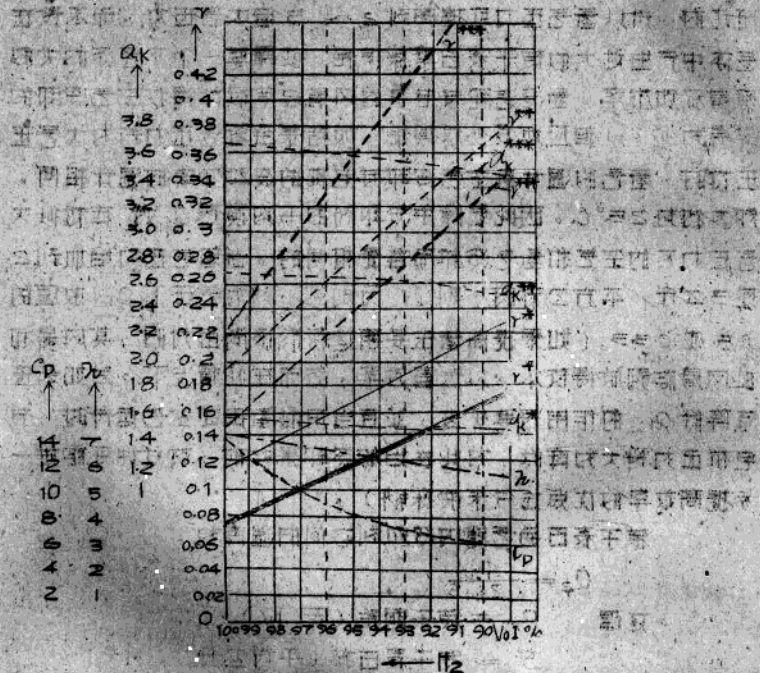


图3 不同容积浓度的氢气对空气的性质之比的特性曲线。

注：此图只适用于氢气浓度在1%以上时。

$\gamma = \text{密度之比}$

$c_p = \text{恒压下热阻之比}$

$\alpha_k = \text{散热量之比}$

$\lambda = \text{压降之比}$  因不考虑粘性摩擦而忽略

$* = \text{氢压为 } 1.035 \text{ 公斤}/\text{平方公尺绝对压}/\text{氢压为 } 1 \text{ 公斤}/\text{平方公尺绝对压}$

$** = \text{氢压为 } 1 \text{ 公斤}/\text{平方公尺绝对压}/\text{氢压为 } 0.99 \text{ 公斤}/\text{平方公尺绝对压}$

$*** = \text{氢压为 } 0.99 \text{ 公斤}/\text{平方公尺绝对压}/\text{氢压为 } 0.98 \text{ 公斤}/\text{平方公尺绝对压}$

在修正下，比热和易氢压有关，因此当密度降低时，比热示很快下降了。

虽然在 350 公厘水柱，即 1.035 公斤/平方公尺绝对压力和每百 % 密度时，其散热带数为空气的 1.59 倍（图 3），它在很大程度上决定于氩气的压力，而在 2 公斤/平方公尺绝对压力时大约为 2.6 倍，3 公斤/平方公尺绝对压力时大约为 3.74 倍，故称用氢之后，温度  $Q_2$  即降低到 0.616、0.385 和 0.282 倍。

对于齿部的温降  $Q_3$ ，易冷却剂的性质无关，但随着齿高和槽深的减少而增加，所以它不受重冷的影响。对总温降有很大一部分的  $Q_3$  在若干直接表面冷却时採用氢气是没有什么好处的。

根据符合於欧姆定律的对流传导定律：

$$Q_4 = \frac{P_{Vc}}{A} (S_1 + \frac{S_2}{\lambda_2}) \quad \text{单位：瓦特/每度/每厘米}^2$$

这里

$$P_{Vc} = \text{转子铜耗} (\text{瓦特})$$

不计小损失

由表 1 可得

表 1

$$A = \text{铜-铁间的散热带数 (每度公尺, } \text{cm}^{-2})$$

表 2

$$S_1, S_2 = \text{绝缘厚度和间隙 (公尺, cm)}$$

$$\lambda_1, \lambda_2 = \text{绝缘和冷却剂的散热带数 (瓦/公分毫, } \text{W/cm} \cdot \text{°C})$$

對於近代玻璃基的转子绝缘而言， $\lambda_1 = 4 \times 10^{-3} \text{ W/cm} \cdot \text{°C}$ 、 $\lambda_2 = 0.3 \times 10^{-3} \text{ W/cm} \cdot \text{°C}$  (空气) 和  $2 \times 10^{-3} \text{ W/cm} \cdot \text{°C}$  (氢)

当绝缘厚度为 1 公厘、间隙为 0.1 公厘时：

$$Q_{4(\text{空})} = \frac{P_{Vc}}{A} (25 + 5) = 58 \frac{P_{Vc}}{A} (\text{空气})$$

$$Q_{4(\text{H}_2)} = \frac{P_{Vc}}{A} (25 + 5) = 30 \frac{P_{Vc}}{A} (\text{氢气})$$

由图 3 可见实际转速，某时氢气的温降  $Q_4$  为空气冷却时的 0.517 倍，绝缘愈薄和间隙愈大时， $\frac{Q_4(\text{H}_2)}{Q_4(\text{空})}$  定值愈大，即氢气的效果愈大，因为气体的散热带数与气体的压力无关，故当加氢压

不考虑度  $Q_4$  的影响，总温降  $\Delta T$  为常数，不计热损。

为了能全面分析量对减小  $Q_1$ 、 $Q_2$  和  $Q_4$  的效果，必须知道工艺冷却各部分温降值在总温降  $\Delta T$  中所占的分量。在直接表面冷却（图 1a）的大发电机而言中，下列从计算和试验所得数据（ $\Delta T = 90^\circ\text{C}$ ）可以认为是具有普遍意义的各部分温降：

$$\begin{aligned} Q_1 &= 15^\circ\text{C} = 17\% \Delta T \\ Q_2 &= 20^\circ\text{C} = 22\% \Delta T \end{aligned}$$

$$\begin{aligned} Q_3 &= 33^\circ\text{C} = 37\% \Delta T \\ Q_4 &= 22^\circ\text{C} = 24\% \Delta T \end{aligned}$$

$$\begin{aligned} \Delta T &= 90^\circ\text{C} = 100\% \Delta T \end{aligned}$$

$$\begin{aligned} Q_1 &= 15^\circ\text{C} = 17\% \Delta T \\ Q_2 &= 20^\circ\text{C} = 22\% \Delta T \\ Q_3 &= 33^\circ\text{C} = 37\% \Delta T \\ Q_4 &= 22^\circ\text{C} = 24\% \Delta T \\ \Delta T &= 90^\circ\text{C} = 100\% \Delta T \end{aligned}$$

当由空气冷却改为氢气冷却时，对直接表面冷却（图 1a）而言， $Q_1$  的变化如下：

$$\begin{aligned} \text{空气} &\rightarrow \text{氢气} \\ \text{原有 } Q_1 &= \left\{ \begin{array}{l} 1.035 \\ 2 \\ 3 \end{array} \right\} \text{ 公斤每方公升氢压时为 } \left\{ \begin{array}{l} \text{实际上无变化} \\ 0.5 \text{ 倍} \\ 0.333 \text{ 倍} \end{array} \right. \end{aligned}$$

$$\begin{aligned} \text{空气} &\rightarrow \text{氢气} \\ \text{原有 } Q_1 &= \left\{ \begin{array}{l} 1.035 \\ 2 \\ 3 \end{array} \right\} \text{ 公斤每方公升氢压时为 } \left\{ \begin{array}{l} 0.646 \\ 0.385 \\ 0.282 \end{array} \right\} \text{ 倍} \end{aligned}$$

$Q_3$  变化与无关，所以无变化。

$Q_4$  变化与无关，因为它只与散热系数是与压力无关的。在上述例子中，对假定的绝缘材料、厚度和间隙而言，它变为 0.517 倍。

当具有大工艺冷却的工艺冷却，其各部分的温降为理想分布时，采用氢气在减小温降  $\Delta T$ 。即总热阻的系数是 1.035，而工艺冷却的系数是 0.517，从而在总温降中，有 51.7% 是由工艺冷却、48.3% 是

或温度的增加为 19.4% } 当不具有 { 1.035 } 公斤/平方公分氢压时

33.6% } 当具有 { 2 } 公斤/平方公分氢压时

38.8% } 当具有 { 3 } 公斤/平方公分氢压时

从而能被散发的转子损耗将随热阻的减小成反比地增加为：

24% } 当不具有 { 1.035 } 公斤/平方公分氢压时

50% } 当具有 { 2 } 公斤/平方公分氢压时

64% } 当具有 { 3 } 公斤/平方公分氢压时

当转子齿具有冷却槽时（图 1b）齿铁中的温降  $Q_3$  从总温降  $\Delta t$  的 37% 左右减低到约为 25%，若是在一个理想表面上的温降  $Q_2$  从 22% 左右变化到约为 24% 以及从铜到铁的温降  $Q_4$  从 24% 变化到 30%，平均预热  $Q_1$  大约 21%。

按此假定的各部分温降的分配比例，它与实际情况很相似，在采用氢冷后，能被散发的转子损耗，用上述同样的计算方法可算的增加数为：

31% } 当不具有 { 1.035 } 公斤/平方公分氢压时

55% } 当具有 { 2 } 公斤/平方公分氢压时

82% } 当具有 { 3 } 公斤/平方公分氢压时

当采用直装在洞内进行氢气冷却时（图 1c）则情况更为满意，并且在轴端情况下， $Q_3$  和  $Q_4$  变为 0，即铜模的热量完全散发在冷却介质中。（实际上一定的热量是经过齿铁的）冷却剂的平均预热  $Q_1$  约为  $50^{\circ}\text{C}$  相当于  $\Delta t$  的 56%，而从洞到冷却介质的温降  $Q_2$  可固定为  $40^{\circ}\text{C}$  或  $\Delta t$  的 44%。当以 1.035 公斤/平方公分氢压的氢冷代替空气冷却时，全部热阻  $\Delta t$  减少 16%，而当 2 公斤/平方公分氢压时减少 55%，以及 3 公斤/平方公分氢压时减少 69%，则采用氢冷能被散发的转子损耗的增加数为：

19% } 当不具有 { 1.035 } 公斤/平方公分氢压时

122% } 当具有 { 2 } 公斤/平方公分氢压时

220% } 当具有 { 3 } 公斤/平方公分氢压时

转子槽流（它随损耗的平均损失而变）的可能增加数为，对直接表凸冷却而言：

$$\left. \begin{array}{l} 11\% \\ 22.5\% \\ 27.5\% \end{array} \right\} \text{当具有} \left\{ \begin{array}{l} 1.035 \\ 2 \\ 3 \end{array} \right\} \text{公斤/平方公分氢压时}$$

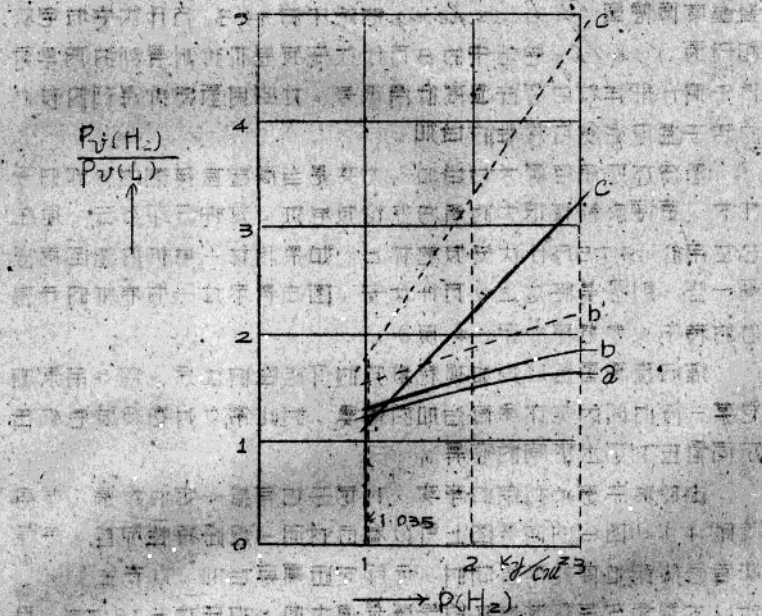
对齿部冷却而言：

$$\left. \begin{array}{l} 11\% \\ 27\% \\ 33\% \end{array} \right\} \text{当具有} \left\{ \begin{array}{l} 1.035 \\ 2 \\ 3 \end{array} \right\} \text{公斤/平方公分氢压时}$$

对直接铜内冷却而言：

$$\left. \begin{array}{l} 9\% \\ 49\% \\ 80\% \end{array} \right\} \text{当具有} \left\{ \begin{array}{l} 1.035 \\ 2 \\ 3 \end{array} \right\} \text{公斤/平方公分氢压时}$$

图4表示当采用图1a、b、和c的转子槽型时，以氢压为函数的可能散发的转子损耗对在大气压下空气冷却所能散发的损耗它间的关係。（参见文献2）实线曲线表示的关係没有考虑到不同的转子槽型在用空气冷却时也有不同的效果的这一事实，它们的效果受一些设计数据的影响（槽的和槽尺寸，槽数，冷却沟的形状和大小等）。图1a 转子槽型的可能散发的损耗，能够从肯定的  $Q_1$  和上述  $Q_2$  与  $Q_4$  的计算方法，同时用散热係数很快的得而  $Q_3$ 。（参见文献3），或更快地在富流钢格分析器上得而  $Q_3$  来决定之。此外由理论和实验研究结果，可以假定用空气冷却时转子同样若用直接表凸冷却时能多散发  $20\%$  的转子损耗，而用直接铜内冷却时约能多散发  $55\%$ ，在图4中槽型b 和c 的虚线曲线给出一个对空与直接表凸冷却的比较。



图九 在不同总压  $P(H_2)$  下，氢冷机耗散反向转子  
损耗  $P_v(L)$  与比值  $P_v(H_2)$  的关系

过在大总压下空气冷却所能散发的转子损耗  
 $P_v(L)$  与比值的关係。

曲线 a, b, c 相当於图 1a, 1b 和 1c 的  
模型。

虚线 b', c' 像 b 和 c 模型用氢冷与 a 模型  
用空气冷却的比较。

应用加湿冷却在大型汽轮发电机上很早就进行制造了 B, B, C  
没有将材料利用至极限，而是希望得到较高的效率。因它转子耗

粗温度像德国 *Goldenhenry* 巴站中的 14.3 万仟伏安发电机和丹麦 *Kynsby* 巴站中的 8 万仟伏安发电机所测得到的满负荷于升那样校之容许温度低得很。这些用氢冷所得到的较低的转子温度促使可靠性的增加。

氢冷还可使容量大为增加，尤其是当高压直流通内冷的情况下，更便於制造很大的氢冷汽轮发电机，这种冷却方法，现在已应用於 18.75 万仟伏安发电机上，如果将这一电机的氢压再提高一些，则容易能达 20 万仟伏安，图 5 表示过一发电机的开槽后的转子（参见原书第 84 页）。

临时提高氢压以增加额定转速的可能性的优点，常々用以满足某一段时间内无动负荷增加的需要，为此常々对氢冷发电机在不同氢压下定出不同的容量。

由於转子更大利用的事实，对定子也有着一定的效果（参见文献 4），从图 6 的向量图上可以看出来对同一短路特性而言，气隙或者气隙饱和度或两者同时，示即安匝需要增加，以产生磁通。所以大型氢冷汽轮发电机的气隙是很大的，如在过 18.75 万仟伏安的电机中气隙为 65 毫米。电枢反应实际上是指电枢电流正比增加，而它的效应随通风量增加而减少，较大的电枢反应要求有较大的安匝数，过载需要对端部附加损耗加以特别注意，（其值近似地按安匝的平方成正比例地增加），而以通过端部和压板的通风来减小散热它们，一系列的有效测量已经进行过，所测得到的发电机的正常温度已经是很低了。

三、发电机的冷却装置  
（一）风冷

#### 1. 风机冷却装置

一、首先简要介绍几种冷却装置和它们的优缺点，然后叙述各种冷却装置的构造和工作原理，最后指出各种冷却装置的优缺点。

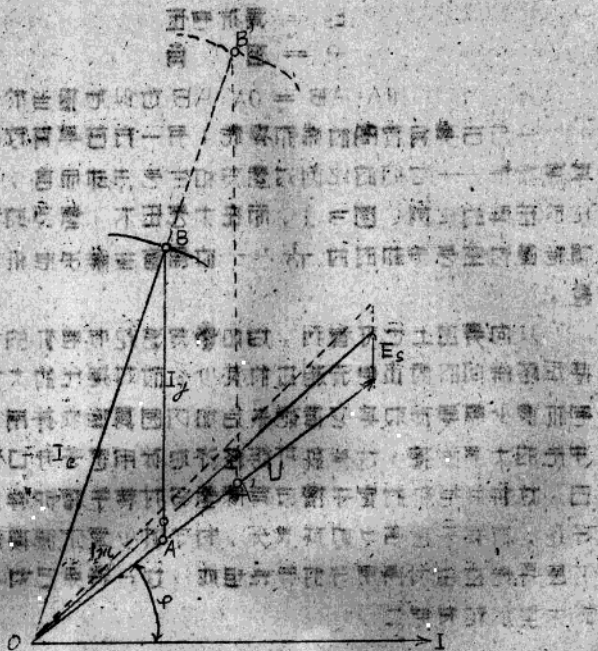


图6、功率因数为0.6和短路特性为0.6的火花发电机的向量图

本图表示了转子电流增加50%的效果。

由图可知，当转子电流增加到 $100\%$ 时，功率因数是提高到 $\cos \theta = 0.6$ ，即功率因数已提高到额定值。由图可知， $I_y$ —励磁电流， $I$ —转子电流， $E_0$ —空载电动势， $E_1$ —转子电流增加50%后的电动势。 $I_y$ —相当转子电流应加的电流， $I$ —转子电流， $U$ —端电压， $\theta$ —功率因数角。

$E_s = \text{调匝匝压}$

$\varphi = \text{磁 角}$

$OA:AB = OA':A'B'$  这似地相当於短路特性

一方石英有较高的漏磁损耗，另一方石英有较少的转子表面摩擦损耗——它们的比例对氢冷和空气冷却而言，可以肯定为正比於正常的比例（图3）。而在氢气包围下，氢冷的转子铁芯等效损耗约空冷冷却时的  $\frac{1}{10}$  ——这将完全解决电机的端部通风问题。

从向量图上也可看到，增加氢气冷却电机的利用率，即是使短路瞬间的冲击电流相应的减少。故对现代的大型氢冷发电机很少需要添加其它措施来增加内圆漏磁或降低化带大导条于冲片的大漏磁值，这样就可能经济地采用定子开口槽，在另一方面，这种发电机的定子槽口有像氢冷对转子端部那样程度的好处，故定子槽衬冷却很坏，为了减少斯尔德损耗上要寻找较下层冷却应由分得更窄的板条组成，这一特点已为 R. B. C 样用於大型水轮发电机。

### 效率和损耗

图7为以 12.5 万千瓦发电机为例，当采用氢冷以代替空气冷却时，在不同负荷情况下，效率与其特性的改善。空气冷却的空载损耗几乎等於氢气冷却时漏耗损耗。氢冷效率的提高是由於氢气密度较低的缘故。事实上稀氢的空载损耗为空气的  $\frac{1}{2}$ ，而充度为 90% 的氢气的空载损耗为空气的  $\frac{1}{3}$ ，因而对于同样流速，比流速实际上按冷却剂的密度成正比例地变化，其时所需的风扇功率示将成比例地减少。因为在氢冷发电机情况下，由於总损耗的降低，风扇的风量也可减少，则风扇损耗可更大程度地降低了。

此外，虽然氢气的动态摩擦系数较高，但物体的摩擦仍较空气为少。

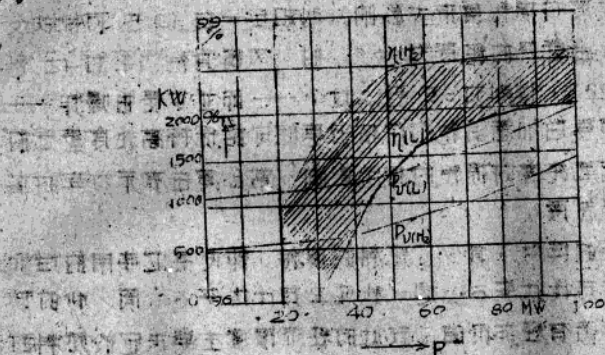


图 12 12.5 千伏安发电机采用空气( $\gamma$ )和  
氢气( $H_2$ )冷却时的阻力和效率

图 3 的曲线表示在空气和氢气中表石摩擦之间的关系(曲线  $\gamma$ )，物体在充满气体的空间中运动的摩擦——由於运动所产生的一半在气体中的正比或反比，当系统时，其正比为：

$$\gamma = \frac{h_2^2}{\rho} \cdot \frac{1}{V^2}$$

$\gamma$  = 空气粘度

$V$  = 速度

$g$  = 重力加速度

在该公式中，空气在  $50^\circ C$  时的绝对粘度  $\gamma$  被定为  $2.01 \times 10^{-5} g/cm \cdot s$ 、空气有  $0.984 \times 10^{-5} g/cm \cdot s$  粘度根据图 3 曲线。

因而可以看到表而摩擦在纯氢中减少为 0.115 倍，在 96% 纯度的氢气中减少为 0.159 倍。

氢气的纯度对损耗有很大影响，例如在一台 12.5 万仟伏安的发电机中，当氢气的纯度为 96% 时，风扇消耗功率为 42 马，但当纯度为 90% 时则为 65 马。这个——而并不惧怕爆炸——就是为何即使要增加消耗的代价仍要尽可能保持高纯度氢气的原因。至于氢气纯度对损耗的极大影响，常必须在表示效率时指出一定的氢气纯度。

由於损耗的降低，减少了燃料的损耗，即使其它费用如制造费等达 5 万仟伏安 50 谢/秒或 2 万仟伏安 60 谢/秒的发电机采用氢气仍有经济价值。较低的经济限度主要决定於燃料的價格和发电机年运转小时数。在迄今采用的空气冷却发电机中，采用氢气已经达到了节约煤炭的目的；假定提高效率 0.7~1%，按照燃料和运营周期的價格每年可以节约 1900 万 100,000 沙士法郎，这样氢冷发电机的附加费用 1~4 年内即能全部收回。

### 氢冷汽轮发电机的机械结构

从机械角度来看，氢冷汽轮发电机与空气冷却汽轮发电机不同的地方如下：

1. 氢冷汽轮发电机成为经受 10 个大气压试验的防爆结构。

2. 大型空气冷却汽轮发电机正常总是强力通风，所以在发电机外部装有风窗以循环冷却空气，而氢冷汽轮发电机常々在转子上装有风窗，以免必须採用防爆冷却管和防止漏气的附加的氢密封。

3. 大型空气冷却汽轮发电机的冷却器总是装置在机壳外凸的空气通道中，而氢冷汽轮发电机的冷却器是防爆的并装在电

机的机壳内。B、C、D：设计时考虑将轴垂直向上取直。

4. 氢冷汽轮发电机的面密封或气密封套管式（图8）。

5. 通过机壳的转轴处採用特殊的密封（图9）以防止氢气从转轴机壳中逸出和空气进入转轴机内。



图8 直接冷却发电机的气密封套管式

所有面密封在一特殊装置中於氢气压下並具有过电压情况下经受试验。

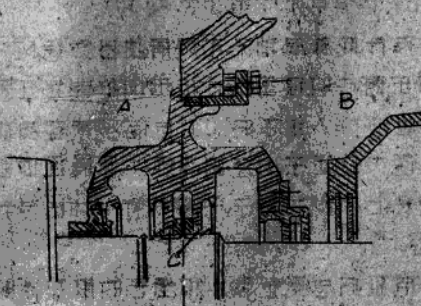


图 9. 氢冷发电机的抽密封

A—气体端 B—空气端 C—油

用这种密封，发电机能够在具有废油或发电机油  
并且内压力 4 磅/平方英寸绝对压力情况下运转。  
氢冷发电机的爆炸危险是很小的，发电机单极爆炸的情况  
尚未听说过，只有当氢中混有空气 25% 时才能为爆炸气体，  
混合气体当量中大约混有空气 70% 时才会产生最大的燃烧温度  
即最高的爆炸压力，但由于气体周围物质的冷却效应，所产生的  
爆炸压力将减小到 10 个大气压。机壳是按两倍最大爆炸压力  
设计的，并经对 10 个大气压强度和变形试验，其结果必须没有  
永久变形。

B、B、C 制造的容量至 15 万千瓦的发电机，总是在机壳  
的圆筒内凹处放置两个冷却器，（参见原文第 80 页图 10）而  
18 和 25 万千瓦的发电机为了绝缘的缘故，它的机壳制成水管  
具有小的凸面的形状，与管的承口式，四个冷却器则放在端部的  
端盖内。（参见原文第 88 页图 11 及第 29 页图 12）

供给机壳内部的气流产生足够地交叉通过发电机轴线的冷却  
气体的主要部分，如此即使当一个冷却器停止工作时——如进行  
清理——也不会在发电机两边之间发生过大的温差。这种交轴冷却  
的剖示见图 10。（参见原文第 87 页）

电机被重新设计能采用轴流式风扇的自然通风——保持氢气  
冷却——这些被压铸成的轻金属叶片轴向地固定在风叶中，而当  
转子从定子内取出或放入定子时，叶片能够很容易的拆卸，这样  
可以不管风叶外径大于定子内径的事实；风肩座仍留在轴上。可  
旋转的叶片能使转上风扇的转子获得平衡，叶片转到此一位置时  
风扇的输出为零。

由于氢冷发电机的总损耗较小和氢气的散热系数较高，所以